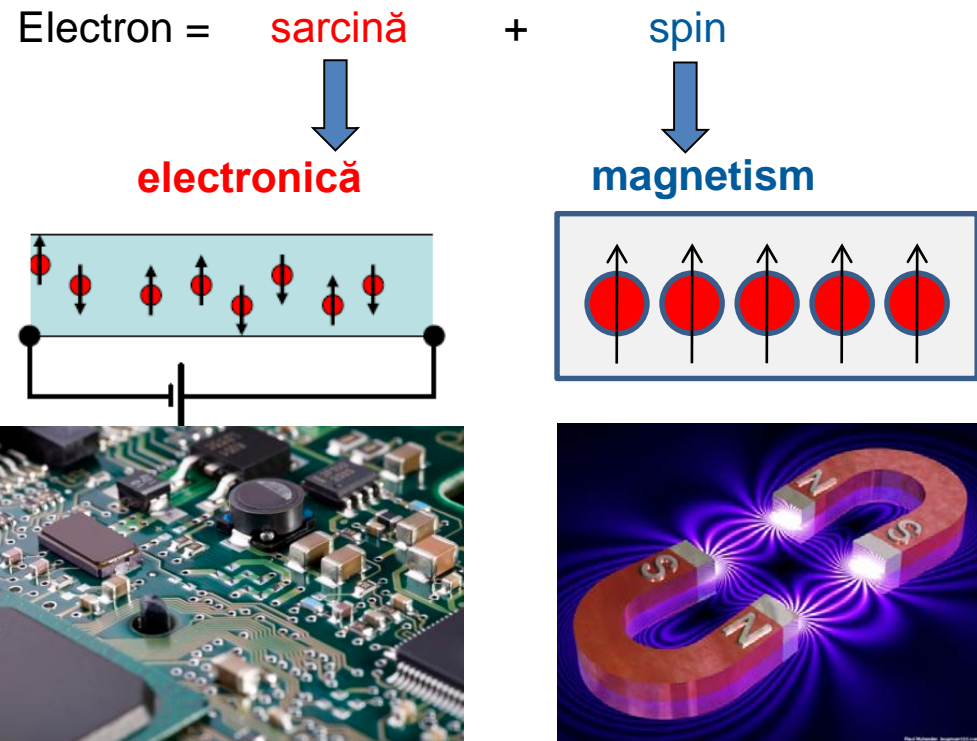
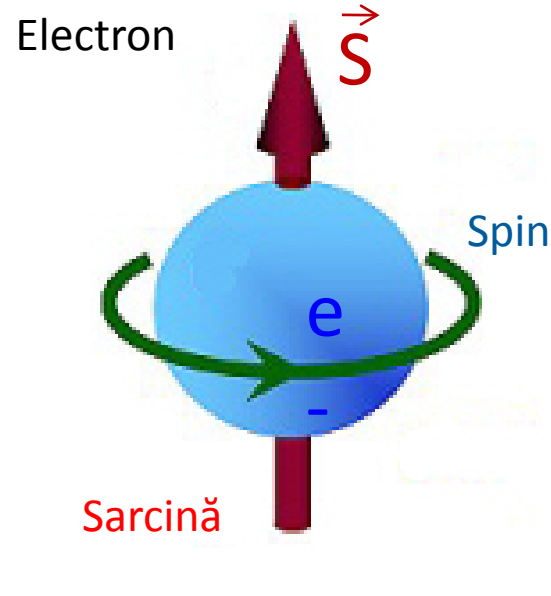




Materiale avansate cu aplicații în domeniul dispozitivelor spintronice folosite în tehnologia stocării informației <MADSPIN>

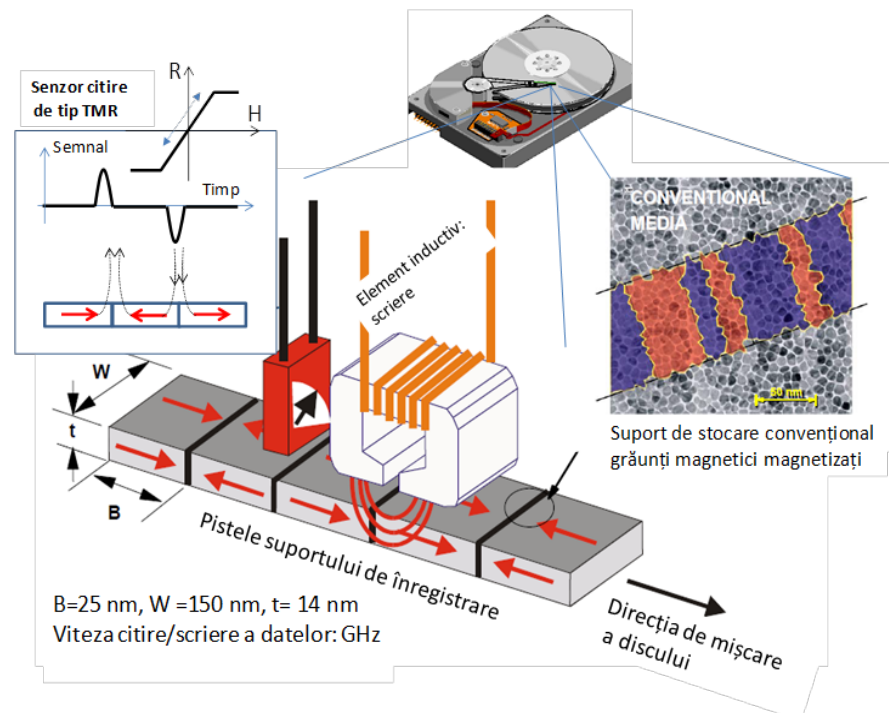
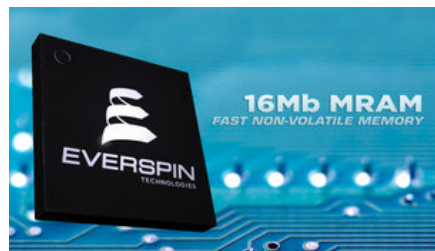
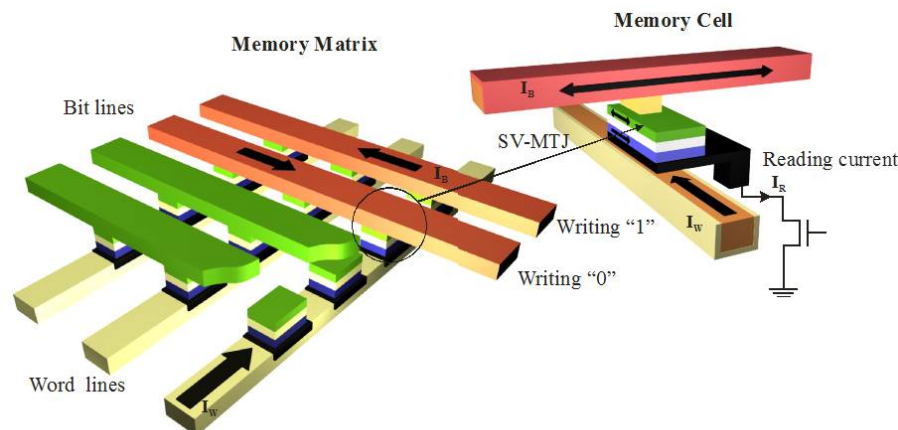
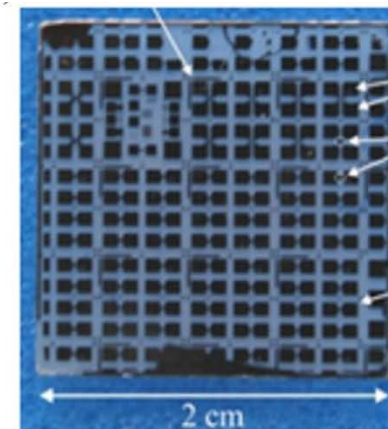
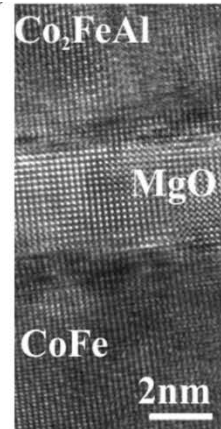
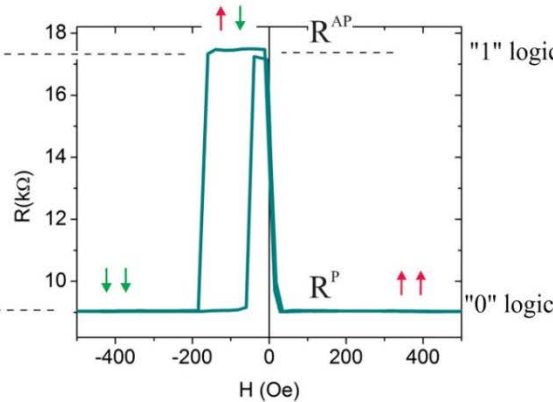
Dr. Mihai GABOR

Spintronica



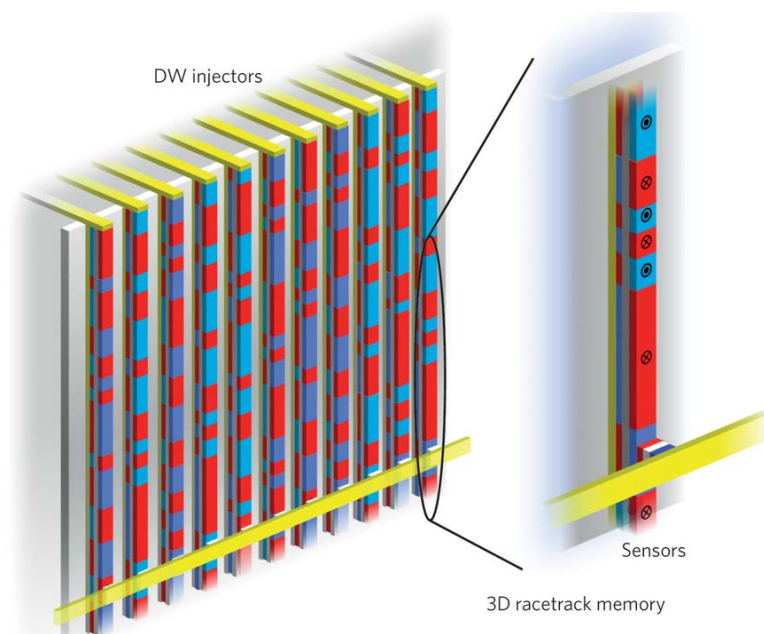
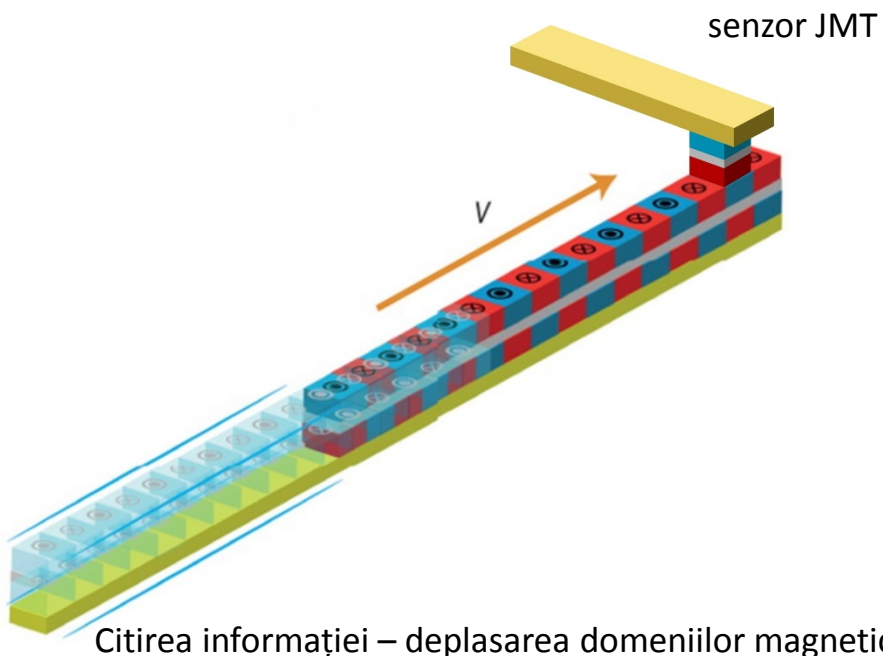
Scopul **spin-electronicii** este de a combina **electronica** și **magnetismul** pentru dezvoltarea de dispozitive în care atât **sarcina** cât și **spinul** să joace un rol activ.

Joncțiunea magnetică tunel (JTM) – aplicații



Dispozitive spintronice de generație viitoare

Memoria magnetică de tip „race-track”



Stuart Parkin and See-Hun Yang, Nature Nanotechnology, 2015

Materiale feromagnetice

- anizotropie magnetică perpendiculară
- polarizare de spin ridicată
- amortizarea Gilbert redusă

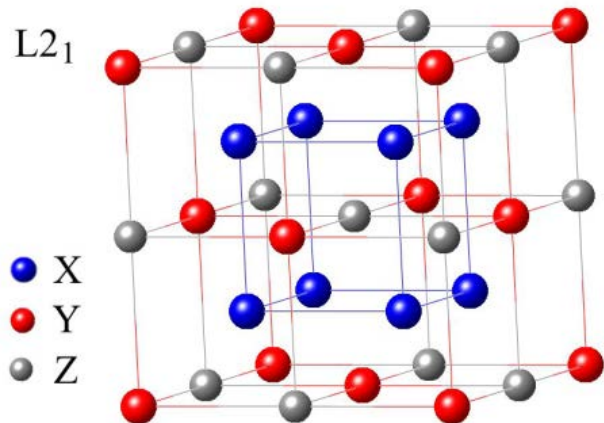
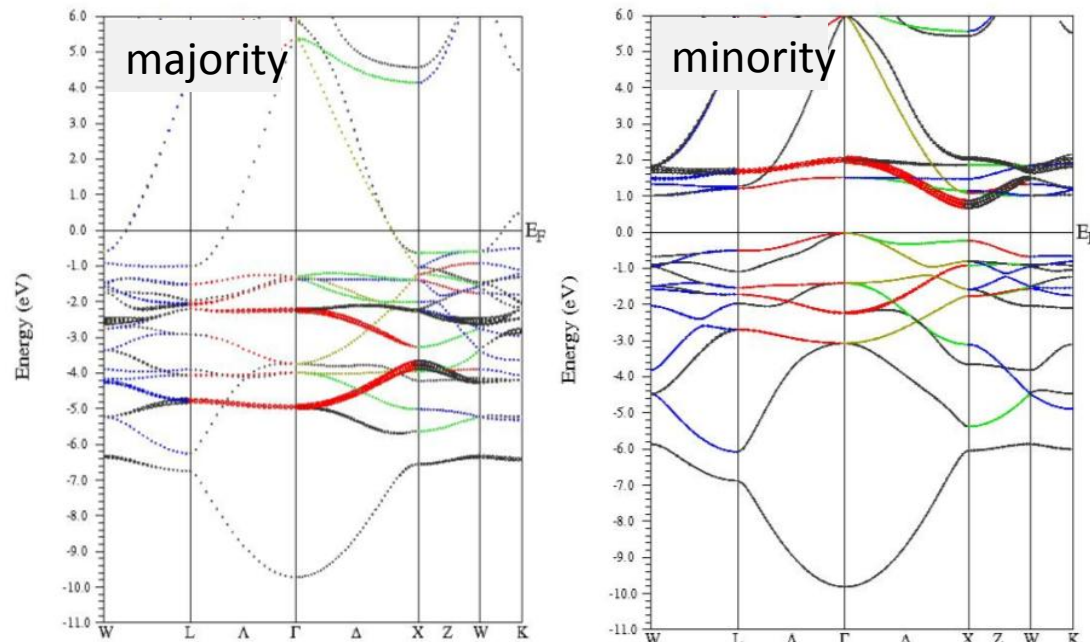
Control local al orientării magnetizării

Aliajul Heusler semimetalic $\text{Co}_2\text{FeAl}_x\text{Si}_{1-x}$ (CFAS)

- **Aliajul full Heusler $\text{Co}_2\text{FeAl}_x\text{Si}_{1-x}$ (CFAS)**

- structură $\text{L}2_1$ aparținând grupului spațial (Fm-3m)
- temperatură Curie ridicată > 700 K
- caracter feromagnetic localizat ($4.96\mu_B/\text{f.u.}$)

- Calcul de structuri de benzi rezolvat în spin folosind codul *ab-initio* Wien2K în formalismul LSDA+U



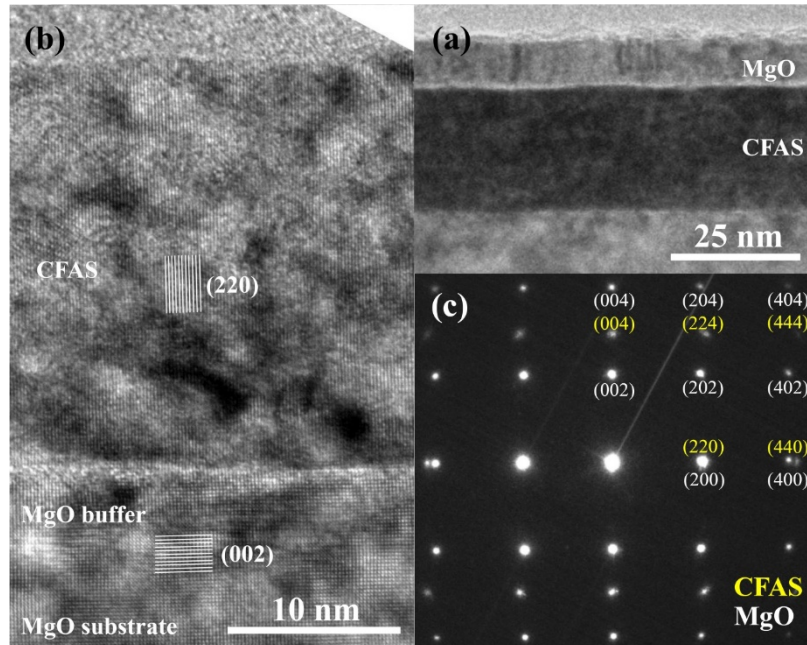
Teoretic CFAS prezintă:

- polarizare de spin 100%
- amortizarea Gilbert redusă

Practic ???

Rezultate – filme de CFAS epitaxiale

- MgO(001) // Co₂FeAl_{0.5}Si_{0.5} (25 nm) / MgO(5 nm)

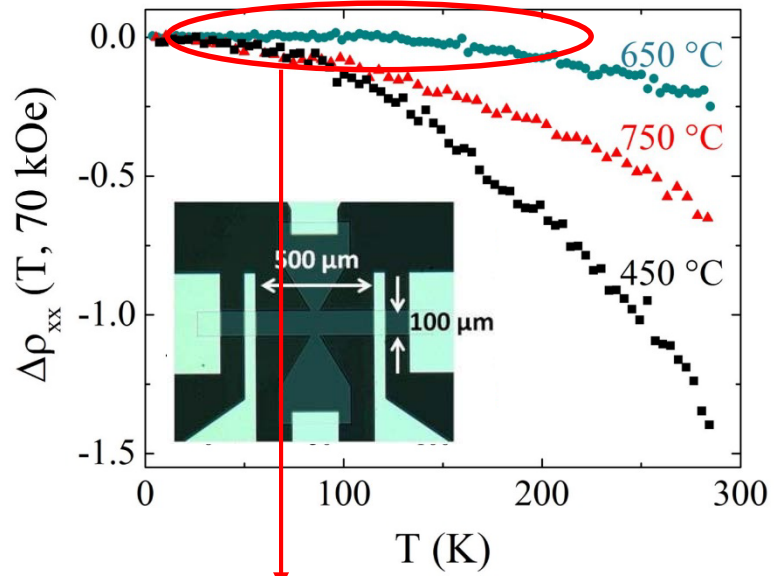


Creștere epitaxială confirmată de MET.



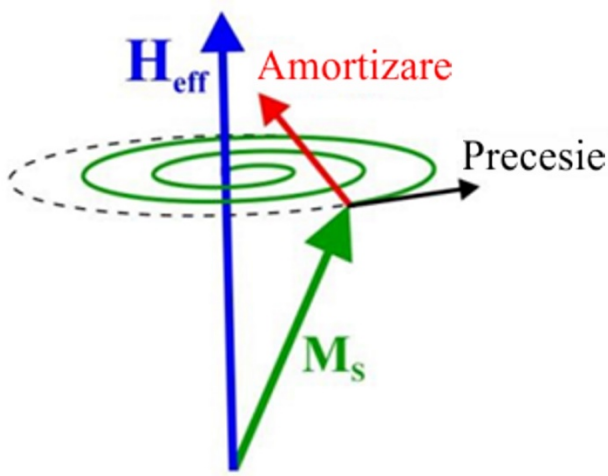
Pulverizare catodică

$$\Delta\rho_{xx}(T, H) = 1 - \frac{\rho_{xx}(T, H) - \rho_{xx}(T, 0)}{\rho_{xx}(4 K, H) - \rho_{xx}(4 K, 0)}$$



- Caracter semimetalic

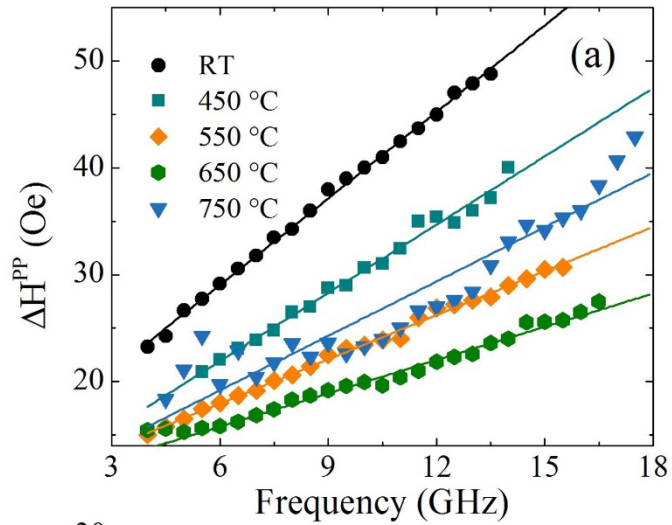
Proprietăți magnetice la frecvențe înalte



$$\frac{\partial \hat{m}}{\partial t} = -\gamma \hat{m} \times (\vec{H}_E) + \alpha \hat{m} \times \frac{\partial \hat{m}}{\partial t}$$

Precesie

Amortizare



$$\Delta H^{PP} = \frac{2}{\sqrt{3}} \frac{2\pi}{\gamma} \times \alpha_{eff} f + \Delta H_0$$

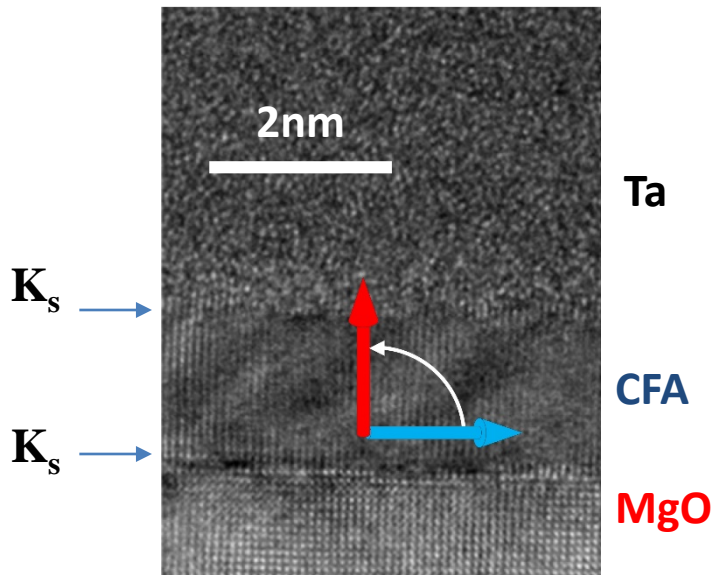
Lărgimea linei de rezonanță vs. frecvență permite determinarea constantei de amortizare Gilbert:

- CFAS films:
 $\alpha = 1.9 \times 10^{-3}$ (pt. Permalloy : $\alpha \approx 10^{-2}$).

- Amortizare Gilbert redusă

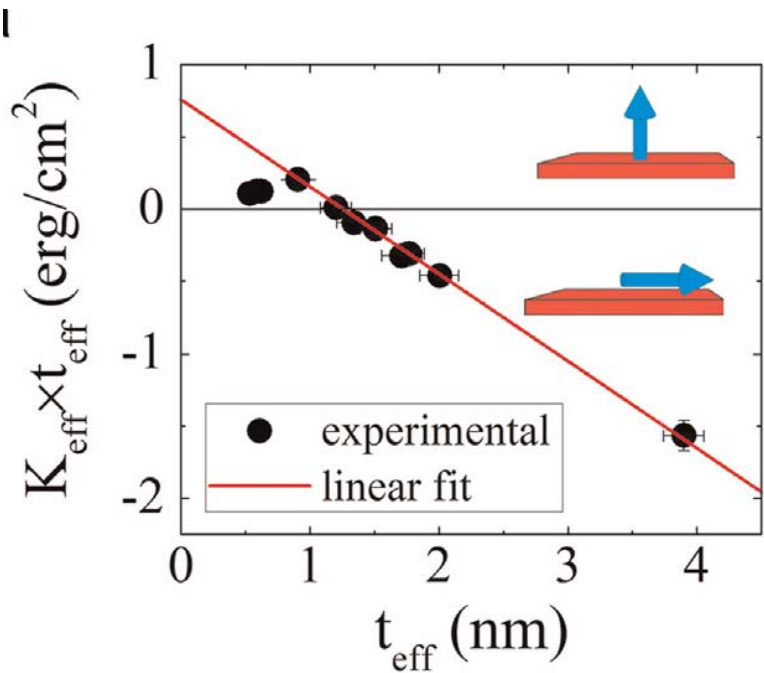
Rezultate – filme de CFA cu anizotropie magnetică perpendiculară

MgO(001)/CFA (grosime var.)/ Ta (5 nm)



$$K_{\perp} = K_{\perp v} + 2K_{\perp s}/d$$

Anizotropia magnetică este datorată hibridizării orbitalilor O 2p cu orbitalii (Co,Fe) 3d + ridicarea degenerării datorită CSO puternic.

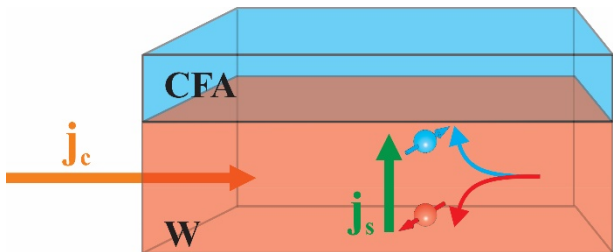


Pentru filme cu **grosimi inferioare la 1 nm** magnetizarea se orientează spontan perpendicular la planul filmului.

- Anizotropie magnetică perpendiculară

Controlul local al magnetizării prin intermediul curentilor de spin

Efectul Hall de spin

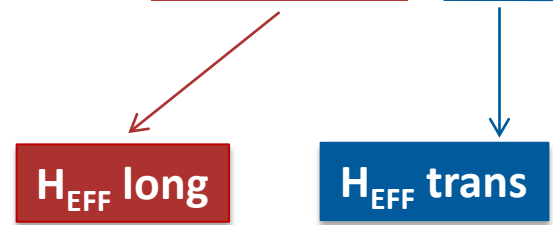


$$J_s^{\text{SH}} = \alpha_{\text{SH}} \left(-\frac{\hbar}{2e} \right) J_c [\hat{z} \times \hat{s}]$$

E. Hirsch Phys. Rev. Lett. 83, 1834 (1999)

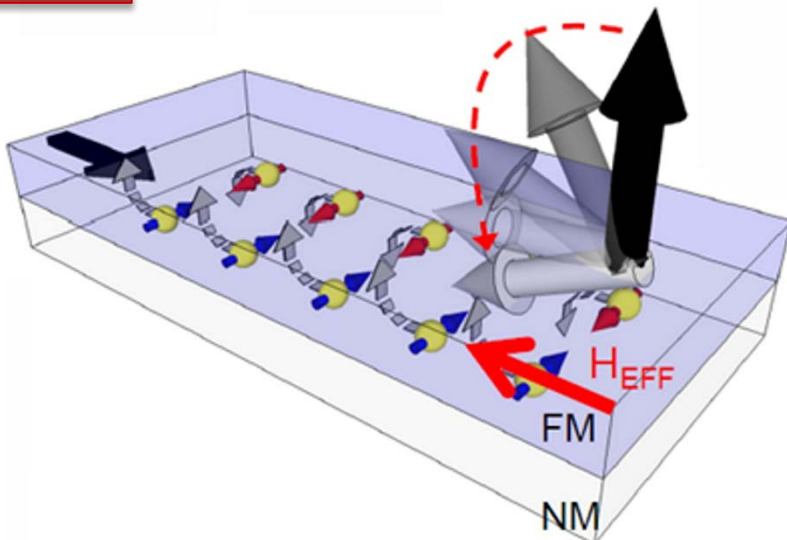
Dinamica magnetizării

$$\frac{\partial \mathbf{m}}{\partial t} = -\gamma \mathbf{m} \times \mathbf{H}_{eff} + \alpha \mathbf{m} \times \frac{\partial \mathbf{m}}{\partial t} - \underline{b \mathbf{m} \times (\mathbf{m} \times \boldsymbol{\sigma})} - \underline{a(\mathbf{m} \times \boldsymbol{\sigma})}$$

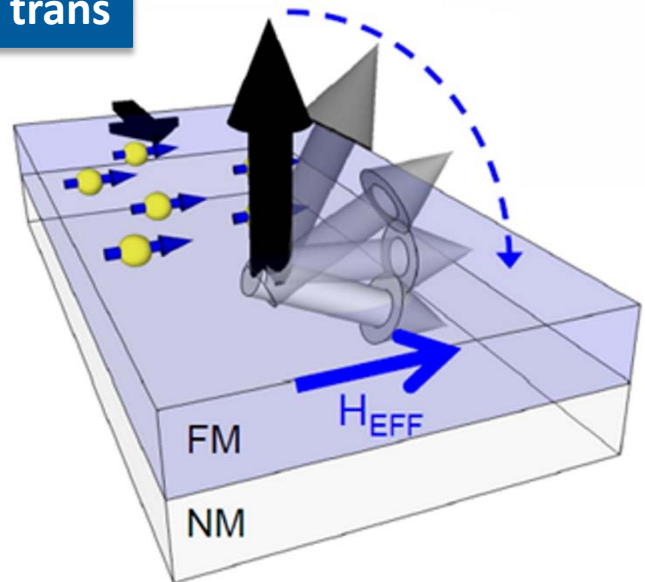


Zhang et al., PRL, 88, 236601, (2002)

H_{EFF} long



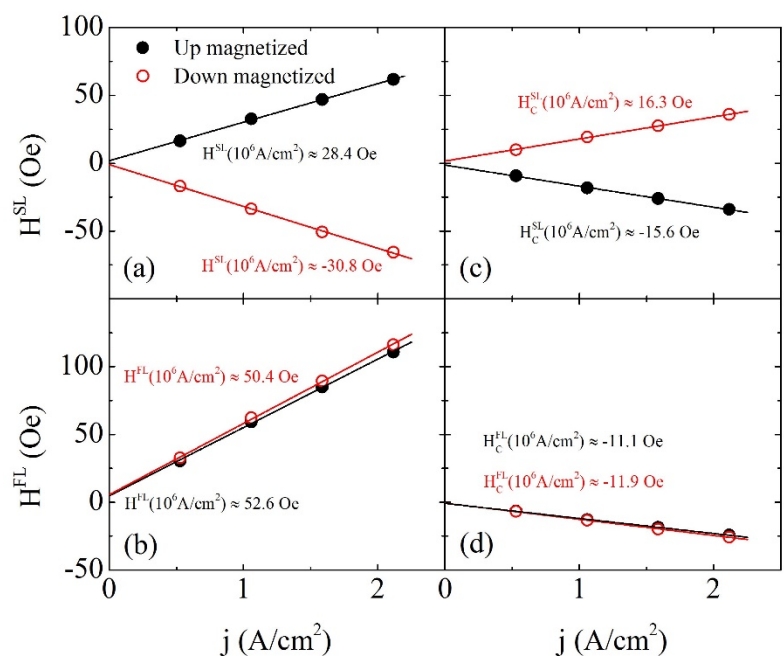
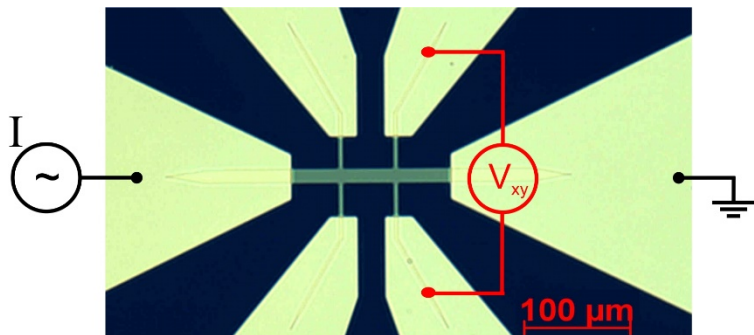
H_{EFF} trans



Caracterizarea câmpurilor magnetice efective în W/CFA/MgO

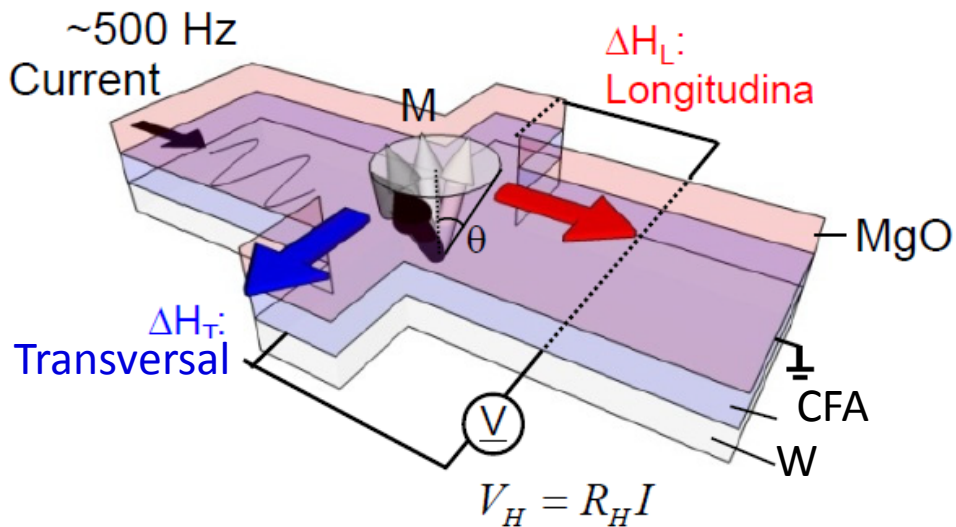
Si//W(5.5 nm)/CFA(0.8 nm)/MgO(1.0 nm)/Ta(2.0 nm)

Dispozitivul experimental



$$H_{L,T} = -2 \frac{\partial V^{2\omega}}{\partial H_{L,T}} / \frac{\partial^2 V^\omega}{\partial H_{L,T}^2}.$$

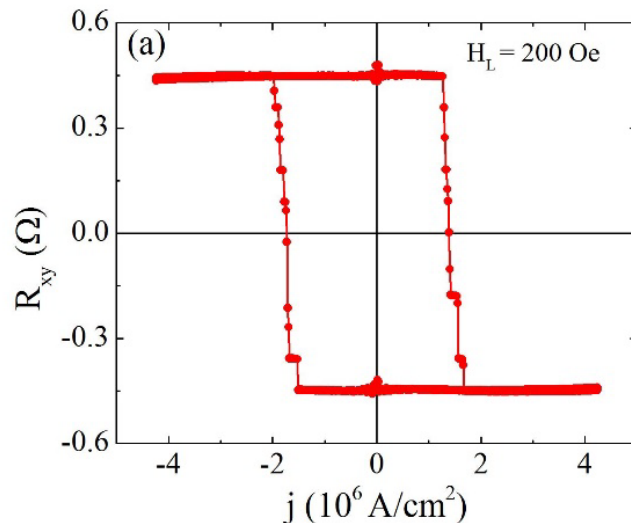
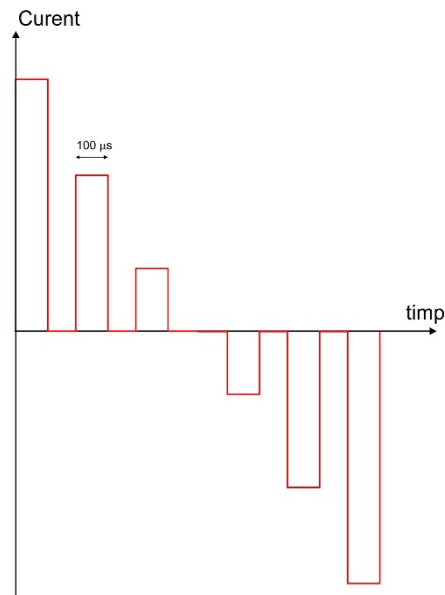
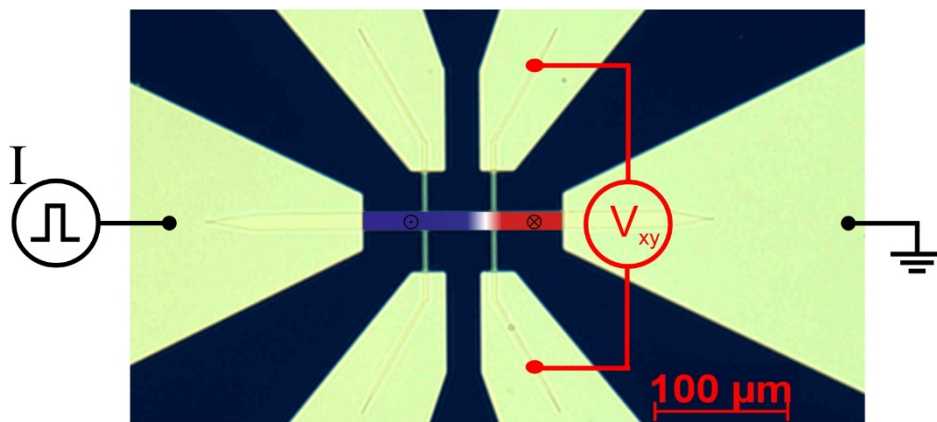
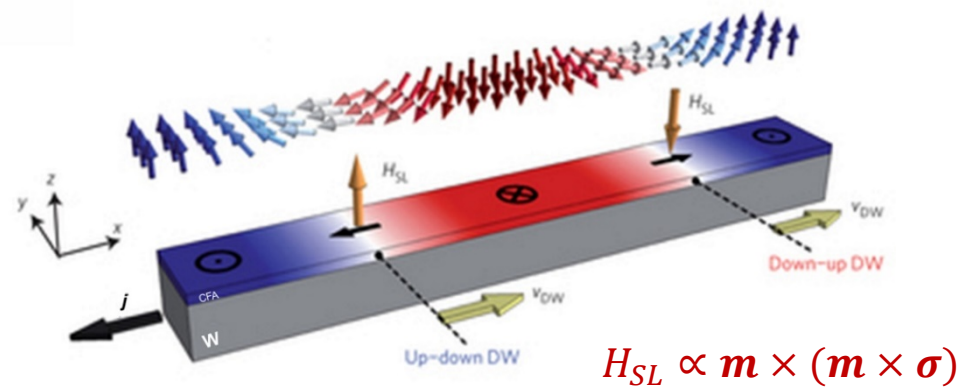
Junyeon Kim et al. Nat Mater 12 (3), 240 (2013).



Cele mai mari valori raportate până acum în literatură

Ex: H_{EFF} aprox. 100 de ori mai mare decât câmpul Oe produs de aceeași densitate de curent

Comutarea magnetizării – deplasarea pereteilor de domeniu



$$j_c \cong 2 \times 10^6 \text{ A}/\text{cm}^2$$

Valoarea acceptabilă
pentru aplicații
 $\leq 10^7 \text{ A}/\text{cm}^2$

Concluzii și perspective

1. Aliajul Heusler $\text{Co}_2\text{FeAl}_x\text{Si}_{1-x}$ candidat ideal pentru realizare de memorii „race-track”.
 2. Structurile de tip W/CFA(S)/MgO permit comutarea magnetizării la densități de curent de ordinul $1\text{MA}/\text{cm}^2$.
-
1. Determinarea vitezei de deplasarea a domeniilor magnetice.
 2. Realizarea de structuri de tip „race-track”.

Publicații în reviste cotate ISI:

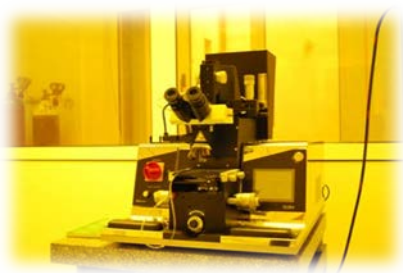
- 1) Correlations between structural, electronic transport, and magnetic properties of $Co_2FeAl_{0.5}Si_{0.5}$ Heusler alloy epitaxial thin films, **MS Gabor**, M Belmeguenai, T Petrisor Jr, C Ulhaq-Bouillet, S Colis, C Tiusan, **Phys. Rev. B**, 054433, (2015) (**FI = 3.73**).
- 2) Temperature dependence of the perpendicular magnetic anisotropy in Ta/Co 2 FeAl/MgO structures probed by Anomalous Hall Effect, **MS Gabor**, T Petrisor, O Pop, S Colis, C Tiusan, **Journal of Magnetism and Magnetic Materials**, 392, (2015) (**FI = 2.00**).
- 3) Effective 90-degree magnetization rotation in Co₂FeAl thin film/piezoelectric system probed by microstripline ferromagnetic resonance M Gueye, F Zighem, M Belmeguenai, **MS Gabor**, C Tiusan, D Faurie **Applied Physics Letters** 107 (3), 032908, (2015), (**FI=3.57**).
- 4) Experimental study of spin-wave dispersion in Py/Pt film structures in the presence of an interface Dzyaloshinskii-Moriya interaction AA Stashkevich, M Belmeguenai, Y Roussigné, SM Cherif, M Kostylev, **M Gabor**, D Lacour, C Tiusan, M Hehn, **Physical Review B** 91 (21), 214409, (2015) (**FI = 3.73**).
- 5) Capping layer-tailored interface magnetic anisotropy in ultrathin Co₂FeAl films M Belmeguenai, **MS Gabor**, T Petrisor Jr, F Zighem, SM Chérif, C Tiusan **Journal of Applied Physics** 117 (2), 023906 (2015) (**FI = 2.71**).

Prezentări orale la conferințe internaționale:

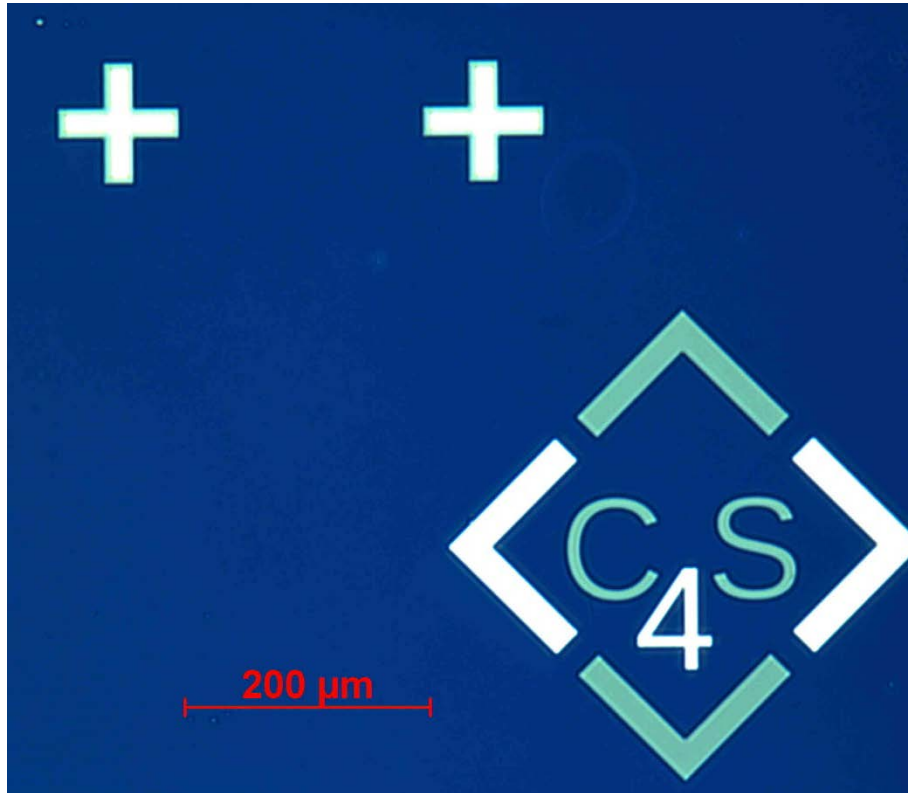
- 1) Magnetization manipulation by spin orbitronic effects in permalloy/heavy metal doped copper bilayers, **M.S. Gabor** , T. Petrisor jr., C. Tiusan, M. Belmeguenai, F. Zighem, S. Colis, D. Lacour, M. Hehn, 20th International Conference on Magnetism, 5-10 July, Barcelona, Spain

Proiect național de cercetare finanțat:

- **PN-II-RU-TE-2014-4-1820, Dispozitive spintronice avansate cu aplicații în tehnologia comunicațiilor și stocării informației pe bază de compuși Heusler.**



Mulțumiri !



**T. Petrisor Jr, C. Tiusan, T. Petrisor
A. Mesaros, R. Mos, M. Nasui, L. Ciontea**

